

УДК 535.34+541.14 : 539.19

## ДВУХКВАНТОВЫЕ ФОТОПРОЦЕССЫ В РАСТВОРАХ РОРОР

Аристов А. В., Шевандин В. С.

Исследованы флуоресцентные и спектроскопические характеристики растворов РОРОР в циклогексане и этаноле в условиях их фотолиза импульсами излучения третьей гармоники неодимового лазера с длительностью по полуширине 25 нс. Обнаружено, что максимальная концентрация молекул в первом синглет-возбужденном ( $S_1$ ) состоянии составляет 0.5 от общей концентрации красителя в циклогексане и 0.3 в этаноле. Показано, что дефицит заселенности  $S_1$ -состояния в неполярных растворах определяется накоплением молекул в тройплетном ( $T$ ) состоянии, а в полярных вдобавок и накоплением обратимого фотопродукта. Этот фотопродукт образуется в результате поглощения возбуждающего излучения из  $S_1$ -состояния с квантовым выходом  $\sim 0.3$  и имеет время жизни  $\sim 10$  нс. Через промежуточный фотопродукт идет образование стабильных фотопродуктов с общим квантовым выходом  $5 \cdot 10^{-3}$ . Значения сечений переходов в максимумах полос поглощения из  $S_1$ - и  $T$ -состояний (область 540–580 нм) составляют  $\sim 1 \cdot 10^{-16} \text{ см}^2$ , что существенно затрудняет обнаружение продуктов фотопреакций по спектрам наведенного поглощения.

Растворы и пары РОРОР (1,4-ди-[2-(5-фенилоксазолил)]-бензола) в настоящее время успешно применяются в качестве активных сред для получения лазерного излучения в фиолетовой области спектра. В работах [1, 2] было показано влияние поглощения излучения накачки из возбужденных состояний на характеристики лазеров на растворах и парах РОРОР, в работах [3, 4] исследована ступенчатая ионизация паров РОРОР, в работе [5] обнаружена двухступенчатая ионизация раствора РОРОР в тетрагидрофуране с квантовым выходом фотораспада  $\sim 10^{-3}$ . Однако систематические данные о фотолизе растворов РОРОР излучением гармоник твердотельных лазеров в настоящее время отсутствуют.

Нами исследованы флуоресцентные и спектроскопические характеристики кислородсодержащих растворов РОРОР в циклогексане и этаноле при их возбуждении одиночными импульсами третьей гармоники ( $\lambda = 353$  нм) неодимового лазера с длительностью по полуширине, равной 25 нс. Схема экспериментальной установки позволяла регистрировать сигнал люминесценции исследуемого раствора и осуществлять его зондирование в максимуме возбуждения и после его окончания.

На рис. 1 представлены зависимости относительной концентрации ( $n_1/n$ ) молекул в первом возбужденном состоянии ( $S_1$ ) от амплитудного значения интенсивности возбуждающего потока ( $\Phi^m$ ). Как видно из рисунка, максимальное значение  $n_1$  составляет 0.5 от общей концентрации красителя в циклогексане и 0.3 в этаноле. Насыщение относительной заселенности  $S_1$ -состояния на уровне, заметно отличающемся от единицы, свидетельствует о накоплении фотопродуктов, образующихся в процессе возбуждения.

Рассмотрим основные причины, которые могут приводить к дефициту заселенности  $S_1$ -состояния. Известно [6], что константа  $p_{ST}$  скорости интеркомбинационной  $S_1-T$ -конверсии в парах РОРОР составляет  $4.5 \cdot 10^7 \text{ с}^{-1}$ . Следовательно, за время действия возбуждающего импульса происходит заметное накопление молекул в  $T$ -состоянии. Поглощение УФ излучения из  $S_1$ -состояния, как показано в работах [7, 8] на примере растворов ароматических веществ, приводит к ионизации с образованием пары катион-радикал—электрон ( $P^+ \dots e^-$ ). Время рекомбинации пары в неполярных растворителях не превышает  $10^{-11} \text{ с}$ , а вероятность образования  $S_1$ -состояния при рекомбинации

близка к единице [7, 8]. Таким образом, в растворе циклогексана поглощение второго кванта в конечном итоге не вызывает дезактивации  $S_1$ -состояния, а распределение молекул красителя по состояниям достаточно хорошо описывается схемой  $S_0 \rightleftharpoons S_1 \rightleftharpoons T$ .

В полярных растворителях в отличие от неполярных вероятность образования  $S_0$ -состояния при рекомбинации пары весьма значительна [7], что по существу приводит к световому тушению флуоресценции [9].

Поскольку в полярных растворителях после образования пары происходит процесс сольватации заряженных частиц, то время их жизни существенно возрастает, и открывается возможность дальнейших химических превращений. Следовательно, в этанольных растворах при оценке распределения молекул по состояниям необходимо учитывать двухквантовый процесс накопления промежу-

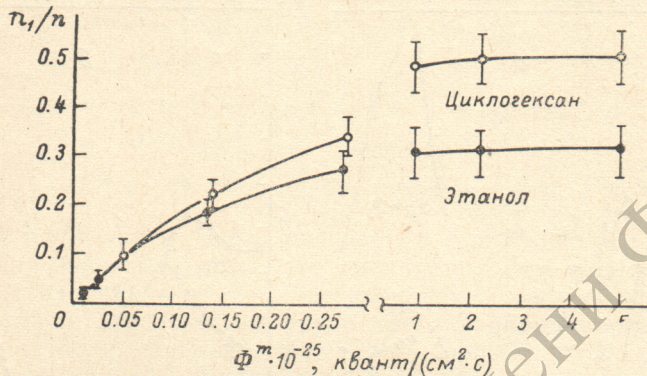
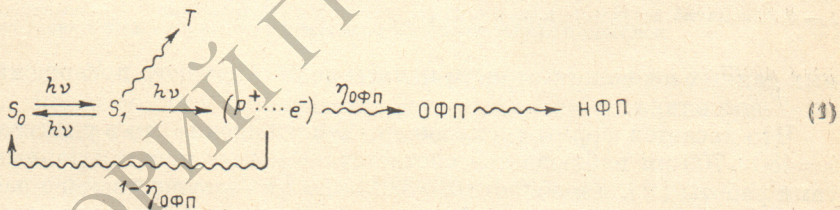


Рис. 1. Зависимость заселенности  $S_1$ -состояния от интенсивности возбуждения (концентрация красителя  $1 \cdot 10^{-5}$  М).

точных обратимых (ОФП) с квантовым выходом  $\eta_{\text{ОФП}}$  и конечных необратимых фотопродуктов (НФП) с общим квантовым выходом  $\eta_{\text{НФП}}$



Чтобы убедиться в правильности предлагаемой схемы фотопроцессов, были осуществлены опыты по необратимой фотодеструкции растворов РОРОР в условиях насыщения заселенности  $S_1$ -состояния. Нами регистрировалось падение величины амплитуды импульса люминесценции при последовательном облучении этанольного раствора. Оказалось, что снижение интенсивности возбуждения в импульсе полностью коррелирует со снижением доли выцветших молекул. Поскольку концентрация синглет-возбужденных молекул при этом не менялась, очевидно, что образование стабильных фотопродуктов происходит в результате поглощения излучения из возбужденного ( $S_1$  или  $T$ ) состояния. При добавлении в этанольный раствор РОРОР концентрации  $3 \cdot 10^5$  М вещества, увеличивающего скорость  $S_1 \rightarrow T$ -конверсии (КJ концентрации  $1.6 \cdot 10^{-2}$  М), интенсивность люминесценции свежеприготовленного раствора снизилась в 1.6 раза и так же снизилась доля выцветших молекул. Этот опыт доказывает определяющую роль поглощения УФ излучения синглет-возбужденными молекулами РОРОР в необратимом обесцвечивании этанольных растворов. Необходимо заметить, что в циклогексане также наблюдалось необратимое обесцвечивание, однако его скорость на порядок меньше, чем в этаноле.

Для оценки распределения молекул РОРОР по состояниям в соответствии со схемой (1) были привлечены данные по оптическому зондированию возбужденных растворов. На рис. 2 изображены спектры поглощения (оптические плот-

ности в натуральных логарифмах) в максимуме импульса третьей гармоники (1) и с задержкой в 40 нс (2), т. е. когда заселенность  $S_1$ -состояния спадала до нуля. Полосы долгоживущего поглощения с максимумом на  $\lambda=540$  нм в циклогексане и на  $\lambda=530$  нм в этаноле затухают с временами, равными  $175 \pm 25$  и  $190 \pm 25$  нс соответственно. При уменьшении интенсивности возбуждения интенсивность полосы на  $\lambda=540$  нм в циклогексане уменьшается, а на  $\lambda=360$  нм возрастает адекватно падению заселенности  $S_1$ -состояния. В работе [1<sup>a</sup>] приведены данные по  $T-T$ -поглощению гексанового раствора POPOP, а в работе [1<sup>b</sup>] измерено время жизни  $T$ -состояния в гексане, равное 150 нс, что близко к полученному нами значению. Таким образом, совокупность полученных нами и литератур-

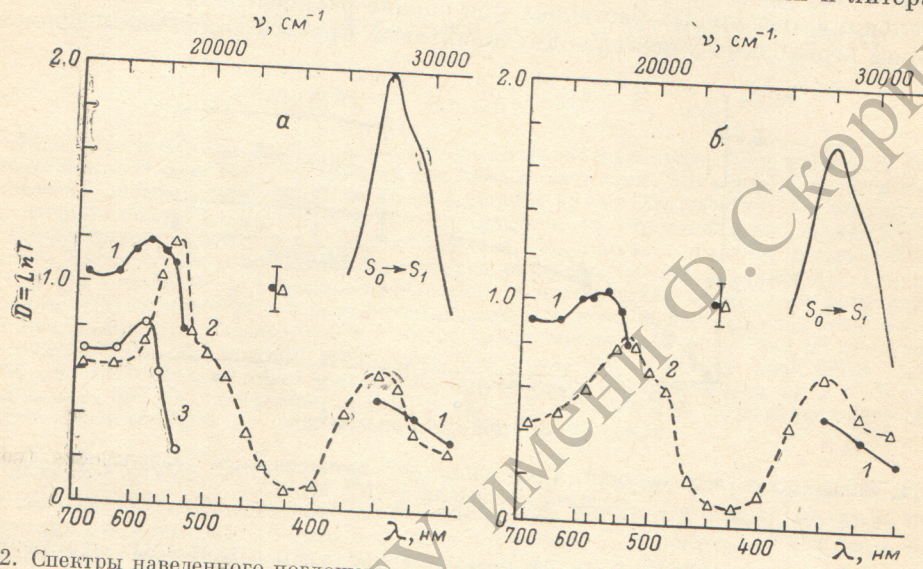


Рис. 2. Спектры наведенного поглощения растворов POPOP концентрации  $5 \cdot 10^{-5}$  М в циклогексане (а) и  $3 \cdot 10^{-5}$  М в этаноле (б).

1 — в максимуме возбуждающего импульса, 2 — после его окончания, 3 — спектр синглет-синглетного поглощения (интенсивность поглощения составляет  $3 \cdot 10^{25}$  квант/ $\text{см}^2 \cdot \text{с}$ ).

ных данных позволяет отнести полосы долгоживущего поглощения к переходам из  $T$ -состояния.

Что касается формы спектров  $T-T$ -поглощения, то в спектральной области  $\lambda=480 \div 700$  нм наблюдается соответствие между нашими данными и результатами работы [1<sup>a</sup>], а в области  $\lambda=320 \div 480$  нм — существенное расхождение. По нашим данным, под полосой люминесценции наблюдается провал в спектре  $T-T$ -поглощения, а, по данным работы [1<sup>a</sup>], его интенсивность в этой области составляет примерно половину от максимальной ( $\lambda=540$  нм). В соответствии с результатами наших измерений основная полоса поглощения растворов POPOP просветляется под действием мощного излучения третьей гармоники неодимового лазера, и это просветление сохраняется после окончания возбуждения. В работе [1<sup>a</sup>] обсуждаемое просветление не наблюдалось, на основании чего был сделан вывод о равенстве сечений  $S_0-S_1$ - и  $T-T$ -поглощения на  $\lambda=378$  нм.

Рассмотрим заселенность состояний молекул POPOP в неполярном растворителе. Допустим, что распределение частиц между состояниями  $S_0$  и  $S_1$  описывается стационарным приближением  $n_1(t)=n_0(t)\Phi\sigma_0\tau$  ( $\sigma_0$  — сечение поглощения из  $S_0$ -состояния на  $\lambda=353$  нм,  $\tau$  — флуоресцентное время жизни), форма импульса флуоресценции моделируется гауссовой кривой, а концентрация триплетных молекул равна  $P_{ST}\int n_1(t) dt$ . Воспользовавшись табличным значением интеграла от гауссовой функции, получим, что в максимуме возбуждения

$$n_0^m = n_1^m / \Phi \sigma_0 \tau, \quad n_T^m = n_1^m P_{ST} 1.35 \cdot 10^{-8}, \quad n_0^m + n_1^m + n_T^m = n. \quad (2)$$

Учитывая, что  $\Phi^m = 3 \cdot 10^{25}$  квант/ $\text{см}^2 \cdot \text{с}$ ,  $\sigma_0 = 1.7 \cdot 10^{-16}$  см $^2$ ,  $\tau = 1.2$  нс, а из люминесцентных измерений  $n_1^m = 0.5n$ , получим  $n_0^m = 0.1n$ . Следовательно, доля

триплетных молекул составит  $n_T^m = 0.4n$ . Для выполнения такого баланса частиц необходимо, чтобы  $p_{ST} = 6 \cdot 10^7 \text{ с}^{-1}$ , что близко к значению, полученному для газовой фазы [6]. После окончания возбуждения оптическая плотность  $D = 0.65$  раствора на  $\lambda = 360 \text{ нм}$  обусловлена суммой  $S_0 - S_1$  и  $T - T$ -поглощения:  $D = (n_0\sigma_0 + n_T\sigma_T)l$ , где  $l = 5 \text{ мм}$  — длина зондируемого слоя. Полагая, что  $n_T = 2n_T^m = 0.8n$  и соответственно  $n_0 = 0.2n$ , получим величину  $\sigma_T = 2 \cdot 10^{-17} \text{ см}^2$ . Значение сечения поглощения  $\sigma_1$  из  $S_1$ -состояния на  $\lambda = 360 \text{ нм}$  определялось из условия  $D^m = (n_0^m\sigma_0 + n_1^m\sigma_1 + n_T^m\sigma_T)l = 0.5$  и составило  $\sigma_1 = 3 \cdot 10^{-17} \text{ см}^2$ .

Составим систему равнений для баланса частиц в этанольном растворе в соответствии со схемой (1), принимая во внимание образование только ОФП, поскольку доля образовавшихся за один импульс стабильных фотопродуктов не превышает 2–3 % от общей концентрации красителя

$$\left. \begin{aligned} n_0^m\Phi^m\sigma_0 &= n_1^m[(1/\tau) + \Phi^m\sigma_1(1 - \eta_{\text{ОФП}})], \\ n_T^m &= 1.35 \cdot 10^{-8} p_{ST} n_1^m, \quad n_T = 2n_T^m, \\ n_0^m + n_1^m + n_T^m + n_{\text{ОФП}}^m &= n_0 + n_T + n_{\text{ОФП}} = n, \\ D &= (n_0\sigma_0 + n_T\sigma_T + n_{\text{ОФП}}\sigma_{\text{ОФП}})l, \\ D^m &= (n_0^m\sigma_0 + n_1^m\sigma_1 + n_T^m\sigma_T + n_{\text{ОФП}}^m\sigma_{\text{ОФП}})l. \end{aligned} \right\} \quad (3)$$

Здесь, как и прежде, величины с индексом  $m$  определяются в максимуме возбуждения, а без индекса — после его окончания. Для решения системы (3) необходимо связать величину  $\eta_{\text{ОФП}}$  независимым образом с другими величинами, входящими в (3). Составим уравнение для определения концентрации  $n_{\text{ОФП}}(t)$  фотопродуктов, учитывая, что скорость перевода молекул из  $S$ -состояния в ОФП составляет  $\eta_{\text{ОФП}}\Phi(t)\sigma_1 n_1(t)$

$$(dn_{\text{ОФП}}/dt) + (n_{\text{ОФП}}/\tau_{\text{ОФП}}) = \eta_{\text{ОФП}}\Phi(t)\sigma_1 n_1(t), \quad (4)$$

где  $\tau_{\text{ОФП}}$  — время жизни ОФП. Для решения уравнения (4) в аналитическом виде для простоты положим, что входящая в него вынуждающая функция  $\Phi(t)n_1(t)$  имеет форму треугольного импульса

$$(dn_{\text{ОФП}}/dt) + (n_{\text{ОФП}}/\tau_{\text{ОФП}}) = A(1 - k|t|), \quad (5)$$

где  $A = \eta_{\text{ОФП}}\Phi^m\sigma_1 n_1^m$ ,  $k = 0.5 \cdot 10^8 \text{ с}^{-1}$ . Решение уравнения (5) дает нам следующие выражения для концентрации обратимых фотопродуктов в максимуме возбуждающего импульса ( $n_{\text{ОФП}}^m$ ) и после его окончания ( $n_{\text{ОФП}}$ ):

$$n_{\text{ОФП}}^m = A\tau_{\text{ОФП}} \{1 - k\tau_{\text{ОФП}}[1 - \exp(-1/k\tau_{\text{ОФП}})]\}, \quad (6)$$

$$n_{\text{ОФП}} = Ak\tau_{\text{ОФП}}^2 [\exp(1/k\tau_{\text{ОФП}}) - 2 + \exp(-1/k\tau_{\text{ОФП}})] \exp(-1/k\tau_{\text{ОФП}}). \quad (7)$$

Решая систему (3) совместно с уравнениями (6) и (7) и полагая, что, как и в циклогексане,  $\sigma_T = 2 \cdot 10^{-17} \text{ см}^2$ ,  $\sigma_1 = 3 \cdot 10^{-17} \text{ см}^2$ ,  $p_{ST} = 6 \cdot 10^7 \text{ с}^{-1}$ , получим:  $n_0^m = 0.07n$ ,  $n_1^m = 0.3n$ ,  $n_T^m = 0.24n$ ,  $n_{\text{ОФП}}^m = 0.39n$ ,  $n_0 = 0.24n$ ,  $n_T = 0.48n$ ,  $n_{\text{ОФП}} = 0.28n$ ,  $\sigma_{\text{ОФП}} = 7 \cdot 10^{-17} \text{ см}^2$  на  $\lambda = 360 \text{ нм}$ ,  $\eta_{\text{ОФП}} = 0.3$ ,  $\tau_{\text{ОФП}} = 10 \text{ нс}$ . Значения заселеностей состояний, а также сечений поглощения из возбужденных состояний в обоих растворителях определены, по нашим оценкам, с точностью  $\pm 50\%$ . Столь значительная величина погрешности обусловлена рядом факторов, а именно: неизменностью в измерении величин  $n_1^m$ ,  $D^m$  и  $D$ , допущением о неизменности значений  $\sigma_1$ ,  $\sigma_T$  и  $p_{ST}$  при переходе от циклогексана к этанолу, упрощением формы возбуждающего импульса.

На основании того что в максимуме возбуждения концентрация триплетных молекул составляет 1/2 от их концентрации в конце импульса, можно из общего спектра наведенного поглощения в циклогексане выделить спектр поглощения из  $S_1$ -состояния (рис. 2, 3). Пользуясь данными о заселенности состояний, находим, что в максимуме поглощения из  $S_1$ -состояния ( $\lambda = 580 \text{ нм}$ )  $\sigma_1 = 1.1 \cdot 10^{-16} \text{ см}^2$ , что близко к значению, полученному в работе [12] методами пикосекундной спектроскопии, а в максимуме  $T - T$ -поглощения ( $\lambda = 540 \text{ нм}$ )  $\sigma_T = 1.0 \cdot 10^{-16} \text{ см}^2$ . Столь высокие значения сечений переходов из возбужденных состояний сущес-

ственно затрудняют обнаружение промежуточных продуктов фотоприводий в эстакольном растворе по спектрам наведенного поглощения в видимой области спектра. Это в свою очередь ограничивает возможность выяснения природы обратимого фотопродукта. Полученные нами данные о времени жизни ОФП ( $\sim 10$  нс) не позволяют отождествить его с первичной парой, поскольку время ее жизни в спиртах не превышает 0.5 нс [13]. Скорее всего обратимый фотопродукт представляет собой катион-радикал красителя, вступающий в реакцию перезарядки [14] с молекулой спирта, для инициирования которой требуется поглощение катион-радикалом светового кванта. Такие процессы, о наличии которых свидетельствует, в частности, сокращение времени жизни промежуточных фотопродуктов при увеличении интенсивности возбуждения, протекают, по-видимому, и в водно-мицеллярных растворах родамина БЖ [15]. Как следует из наших измерений, вероятность поглощения возбуждающего излучения обратимым фотопродуктом при  $\Phi^m = 3 \cdot 10^{-25}$  квант/см<sup>2</sup>·с составляет  $\Phi^m \sigma_{\text{ОФП}} \sim 10^9$  с<sup>-1</sup>, и если величина выхода реакции перезарядки находится в пределах даже сотых — десятых долей единицы, то время жизни ОФП в таких условиях возбуждения может определяться преимущественно этим процессом перезарядки.

Резюмируя результаты исследования растворов РОРОР в условиях интенсивного оптического возбуждения, подчеркнем, что при осуществлении генерации света на этих средах основным фактором, могущим ограничить их лазерную эффективность, является накопление триплетных молекул, а в полярных растворителях вдобавок и фотопродуктов. Поглощение генерируемого излучения из  $T$ -состояния и фотопродуктами, по-видимому, играет второстепенную роль.

#### Литература

- [1] Абакумов Г. А., Воробьев С. А., Симонов А. П. — Квант. электрон., 1977, т. 4, № 9, с. 1926—1932.
- [2] Зуев В. С., Стойлов Ю. Ю., Трусов К. К. — Тр. ФИАН, 1980, т. 125, с. 20—45.
- [3] Абакумов Г. А., Анисимов Ю. М., Пикельни В. Ф., Поляков Б. И., Симонов А. П. — Квант. электрон., 1979, т. 6, № 2, с. 397—400.
- [4] Зубарев И. Г., Котов А. В., Погунов О. А., Стойлов Ю. Ю. — Квант. электрон., 1978, т. 5, № 1, с. 51—55.
- [5] Абакумов Г. А., Подольская Л. С., Поляков Б. И., Симонов А. П., Фадеев В. В., Фадеева Н. А. — ЖПС, 1977, т. 27, № 4, с. 708—712.
- [6] Трусов К. К. — Квант. электрон., 1981, т. 8, № 10, с. 2107—2114.
- [7] Кирюхин Ю. И., Боровкова В. А., Синицына З. А., Багдасарьян Х. С. — Хим. выс. энергий, 1979, т. 13, № 6, с. 509—514.
- [8] Боровкова В. А., Кирюхин Ю. И., Синицына З. А., Ромашов Л. В., Багдасарьян Х. С. — Хим. выс. энергий, 1981, т. 15, № 3, с. 255—262.
- [9] Шевандин В. С., Аристов А. В. — Опт. и спектр., 1980, т. 48, в. 1, с. 62—64.
- [10] Борисевич Н. А., Болотько Л. М., Толкачев В. А. — ДАН СССР, 1975, т. 222, № 6, с. 1361—1364.
- [11] Болотько Л. М. — ДАН БССР, 1975, т. 19, № 12, с. 1074—1077.
- [12] Magde D., Gaffney S. T., Campbell B. F. — IEEE J. Quant. Electron., 1981, v. 17, № 4, p. 489—495.
- [13] Багдасарьян Х. С. — В кн.: Возбужденные молекулы. Кинетика превращений, Л., 1982, 260 с.
- [14] Скворцов В. И., Алфимов М. В. — ДАН СССР, 1974, т. 217, № 3, с. 635—638.
- [15] Аристов А. В., Шевандин В. С. — Опт. и спектр., 1980, т. 48, в. 6, с. 1168—1172.

Поступило в Редакцию 31 января 1983 г.